

предшествует образованию трещин и может рассматриваться в качестве отличительного признака наступления предельного состояния для различных конструкционных материалов. При этом выделяющееся в зонах течения тепло сказывается на свойствах материала и кинетике зарождения и развития поробразных дефектов.

УДК 620.22-419.8:539.4

ВЛИЯНИЕ РАЗБРОСОВ СВОЙСТВ КОМПОНЕНТОВ ДЕГРАДИРУЮЩЕЙ КОМПОЗИЦИОННОЙ СРЕДЫ НА ЭФФЕКТИВНЫЕ УПРУГИЕ МОДУЛИ

Е. А. Белоус

Введение: Проблеме усталостного разрушения металлов, сплавов и композитов посвящены работы [1–6]. В работах [1–2] приведены экспериментальные зависимости время до разрушения от напряжения в условиях малоциклового (статического) нагружения. На основании которых в [1] получена модель накопления повреждений как наиболее удобная аппроксимация. В работах [3–4] приведены кинетические уравнения изменения концентрации повреждений в процессе эксплуатации: Качанова, Работнова, Шестерикова и др. Аналитический расчет физико-механических постоянных композиционных материалов имеет место в работе [5]. Там же приведены сравнительные данные расчета и экспериментов. Наблюдается хорошее согласование расчета с результатами экспериментов. Недостатками приведенных методик является то, что физико-механические постоянные рассчитаны для композитов с ограниченным числом компонентов. Известно, что разрушение является динамическим процессом и может произойти при разных уровнях напряжений. В процессе эксплуатации вследствие подвижности вакансий происходит образование дислокаций в кристаллической решетке, повышается пластичность твердого тела и как результат – изменение физико-механических свойств материала. Эти явления связаны с увеличением концентрации пор и микротрещин. Изучить данные явления на атомном уровне не представляется возможным, поэтому находят применение эмпирические формулы, выведенные на основании статистических данных.

В данной работе предложено решение задачи, позволяющее определить эффективные упругие модули трехкомпонентной, неоднородной среды с учетом деградации матрицы, при разных разбросах свойств компонентов.

Постановка задачи: В качестве объекта исследования рассмотрим композит, состоящий из трех компонентов: 1-стальная матрица, 2-графитовые включения, 3-поры (в дальнейших обозначениях характеристики каждого из вышеуказанных компонентов снабжены соответствующим индексом). Объект подвергался растяжению при $s=315$ МПа. Композит характеризуется эффективными упругими модулями: k -объемный модуль упругости, m -сдвиговой модуль упругости. Для пор принимаем $k=0$, $m=0$. В вычислениях полагалось: $E_1=206$ ГПа, $E_2=27$ ГПа, $n_1=0.33$, $n_2=0.3$. В соответствии с формулами [6]:

$$k = \frac{E}{3 \cdot (1 - 2\nu)} \quad (1)$$

$$\mu = \frac{E}{2 \cdot (1 + \nu)} \quad (2)$$

где E, ν — модуль Юнга и коэффициент Пуассона соответственно.

Для упрощения расчетов будем полагать, что поры распределены по объему равномерно. Изменение концентрации пор в зависимости от времени опишем кинетическим уравнением Качанова

$$\frac{d(1-c)}{dt} = -A \cdot \left(\frac{\sigma}{1-c}\right)^n \quad (3)$$

где σ — напряжение, A, N — параметры материала, определяемые из экспериментальных зависимостей согласно методике предложенной в работе [1]. Для стали $A = 3.26 \cdot 10^{-15}$, $n=4$. По данным работы [5] эффективные модули упругости композита определяются по уравнениям:

$$\Gamma^{(k)} = \frac{1}{k_0 + \frac{4}{3} \cdot \mu_0} \quad (4)$$

$$\Gamma^{(\mu)} = \frac{2 \cdot (k_0 + 2 \cdot \mu_0)}{5 \cdot \mu_0 \cdot (k_0 + \frac{4}{3} \cdot \mu_0)} \quad (5)$$

$$\Gamma^{(\lambda)} = \sum_{i=1}^N \frac{2 \cdot c_i}{\varepsilon_{i1} + \varepsilon_{i2}} \cdot \sum_{\beta=1}^2 \left[\frac{A^{(\lambda)} + (-1)^\beta \cdot \varepsilon_{i\beta}^{(\lambda)}}{\varepsilon_{i\beta}^{(\lambda)}} \right] \cdot \ln \left[\frac{A^{(\lambda)} + (-1)^\beta \cdot \varepsilon_{i\beta}^{(\lambda)}}{A^{(\lambda)}} \right] \quad (6)$$

$$A^{(\lambda)} = \lambda - \lambda_0 + \frac{1}{\Gamma^{(\lambda)}}, \quad \lambda = k, \mu \quad (7)$$

Рассмотрим случай разброса свойств компонентов при:
 $\epsilon_{11}^{(k)} = \epsilon_{32}^{(k)} = 11 \cdot 10^4$ МПа, $\epsilon_{12}^{(k)} = \epsilon_{21}^{(k)} = \epsilon_{22}^{(k)} = \epsilon_{31}^{(k)} = 0$, $\epsilon_{12}^{(\mu)} = \epsilon_{21}^{(\mu)} = \epsilon_{22}^{(\mu)} = \epsilon_{31}^{(\mu)} = 0$,
 $\epsilon_{11}^{(\mu)} = \epsilon_{32}^{(\mu)} = 3,7 \cdot 10^4$ МПа, данный случай разброса свойств компонентов представлен на рис 1.

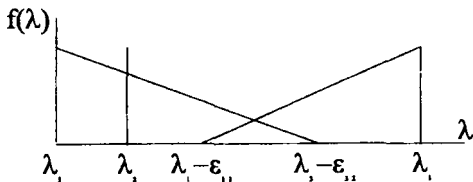


Рис.1. Распределение упругих модулей в гетерогенной n -компонентной среде.

Уравнение (6) имеет недостаток в том, что при $\epsilon \rightarrow 0$ правая часть становится неопределенностью вида: $0/0$. Разложив слагаемые правой части уравнения (6), которые дают неопределенность, в ряд Маклорена и подставив уравнения (4), (5) и (7), получим расчетные уравнения:

$$k_0 = \frac{1}{\frac{2c_1}{\epsilon_{11}} \left(\frac{A_1 - \epsilon_{11}}{\epsilon_{11}} \ln \frac{A_1 - \epsilon_{11}}{A_1} \right) + c_2 \left(\frac{1}{A_2} \right) + \frac{2c_2}{\epsilon_{32}} \left(\frac{A_3 + \epsilon_{32}}{\epsilon_{32}} \ln \frac{A_3 + \epsilon_{32}}{A_3} \right)} - \frac{4}{3} \mu_0 \quad (8)$$

где $A_i = k_i + \frac{4}{3} \mu_0$ $i = 1, \dots, 3$

$$\mu_0 = \frac{2(k_0 + 2\mu_0)}{5 \left(k_0 + \frac{4}{3} \mu_0 \right) \left(\frac{2c_1}{\epsilon_{11}} \left(\frac{B_1 - \epsilon_{11}}{\epsilon_{11}} \ln \frac{B_1 - \epsilon_{11}}{B_1} \right) + c_2 \left(\frac{1}{B_1} \right) + \frac{2c_3}{\epsilon_{32}} \left(\frac{B_3 + \epsilon_{32}}{\epsilon_{32}} \ln \frac{B_3 + \epsilon_{32}}{B_3} \right) \right)} \quad (9)$$

где $B_i = \mu_i - \mu_0 + \frac{5\mu_0(k_0 + \frac{4}{3}\mu_0)}{2(k_0 + 2\mu_0)}$

По формулам (8), (9) проведен расчет для композита сталь-графит-поры, в котором концентрация пор увеличивается за счет уменьшения концентрации матрицы. Так как концентрация пор $c(t)$, тогда концентрация стали определяется $c_s(t) = c_s - c(t)$. Зададим начальные концентрации $c_1 = 0.8$ (сталь), $c_3 = 0.2$ (графит). Подставив значения разброса свойств компонентов $\epsilon_{ij}^{(k)}$ и $\epsilon_{ij}^{(\mu)}$ полу-

чим графики зависимости упругих модулей от времени испытаний результаты расчетов представлены на рис 2, 3.

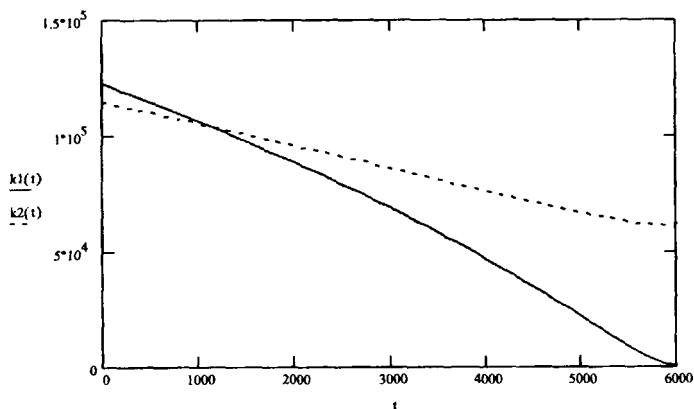


Рис.2. Зависимость объемного модуля упругости от времени эксплуатация для разных значений разбросов свойств.

$k1(t)$ — без разброса свойств компонентов, $k2(2)$ — с разбросом свойств компонентов.

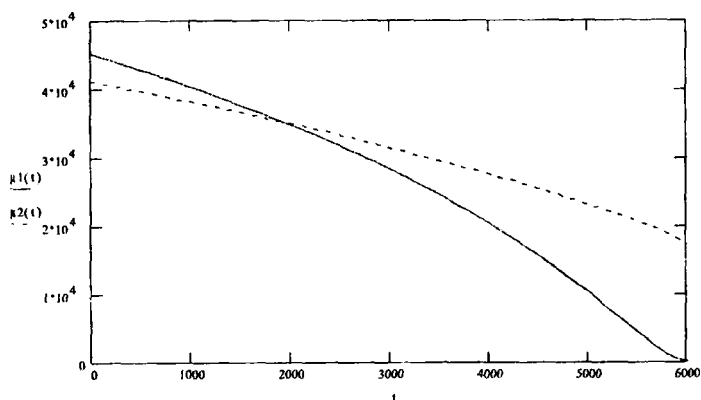


Рис.3. Зависимость сдвигового модуля упругости от времени эксплуатация для разных значений разбросов свойств.

$\mu1(t)$ — без разброса свойств компонентов, $\mu2(t)$ — с разбросом свойств компонентов

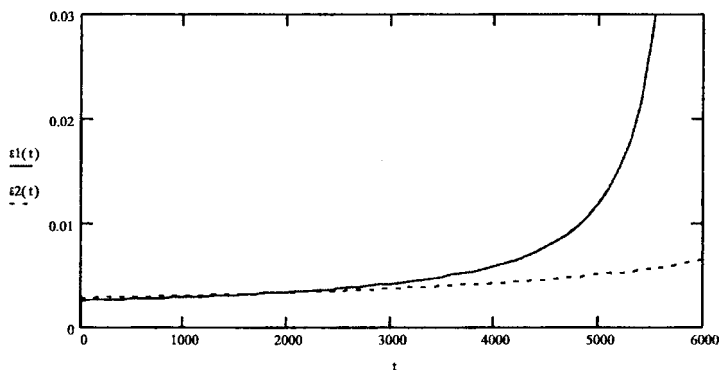


Рис.4. Графики ползучести: $\epsilon_1(t)$ — без учета разброса свойств компонентов, $\epsilon_2(t)$ — с учетом разброса свойств компонентов

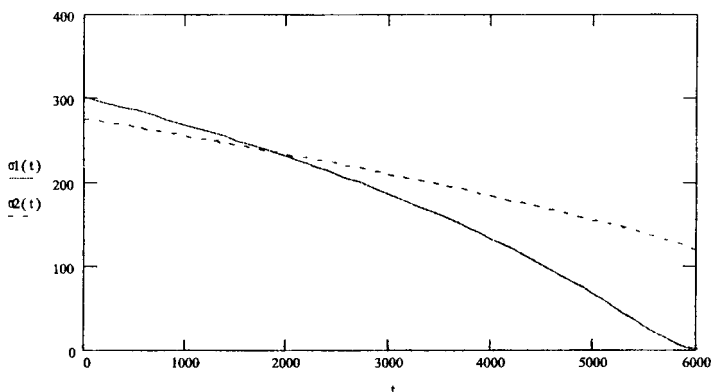


Рис.5. Графики релаксации: $\sigma_1(t)$ — без учета разброса свойств компонентов, $\sigma_2(t)$ — с учетом разброса свойств компонентов

На рис. 2–3 изображены графики зависимостей упругих модулей от времени испытания. Сплошная кривая соответствует идеальному случаю (без разброса свойств), прерывистая — случаю с разбросом свойств компонентов. Второй случай характерен при деградации матрицы и одновременном залечивании пор (например, в условиях ползучести или фазовых превращениях). В результате залечивания пор наблюдается повышение прочностных характеристик композита, о чем также свидетельствуют кривые ползучести и релаксации.

Выводы

1. В результате процесса деградации матрицы происходит уменьшение значений эффективных упругих модулей, при любых значениях разбросов свойств компонентов.

2. Наличие разброса ϵ_{32} позволяет получить зависимость эффективных упругих модулей от времени, для всех значений $c \in [0; 1]$. Для пористой среды без учета ϵ_{32} самосогласованный метод дает обращение λ_0 в нуль при $c(t)=1/2$

3. Полученные в работе формулы могут быть использованы для решения задачи по определению разброса ϵ_{ij} по измеренным и заданным значениям λ_i и c . Эту задачу можно рассматривать как обратную.

4. На основе уравнения типа (7) можно получить системы уравнений для эффективных упругих свойств, распределение материальных коэффициентов подчиняется любым упругим законам распределения, если в пределе взятое распределение переходит в комбинацию d-функций: $f(\lambda) = \sum c_i \delta(\lambda - \lambda_i)$ где, соответственно, расчетные уравнения переходят в известные уравнения p-компонентной среды, получаемые методом самосогласования.

Литература

1. Одинг И.А. Иванова В.С. Теория ползучести и длительной прочности металлов М: 1959
2. Журков С.Н. Томашевский Э.Е. Некоторые проблемы прочности твердого тела. М.: АН СССР 1959
3. Качанов Л.М. Основы механики разрушения. М.: Наука 1974
4. Голуб В.П. Романов А.В. К задаче построения нелинейных моделей накопления повреждений при ползучести. //Проблемы прочности 1990, №6
5. Дрозд С.Г. Контактное взаимодействие сферических пар трения с учетом накопления повреждений и изменения физико-механических свойств в поверхностном слое. // Трение и износ, 17(1996), № 2, 163–169
6. Хорошун Л.П. Маслов Б.П. Методы автоматизированного расчета физико-механических постоянных композиционных материалов М: 1980